

· 基础研究 ·

下调性别决定区Y框蛋白9对口腔鳞癌细胞上皮间质转化及克隆能力的影响

杨文丽 孙明磊 张朋 余炜伟 周海霞 孙强
郑州大学第一附属医院口腔科，郑州 450052

[摘要] 目的 探讨下调性别决定区Y框蛋白9(SOX9)对口腔鳞癌(OSCC)细胞上皮间质转化(EMT)及克隆能力的影响。方法 OSCC BcaCD885细胞中转染siRNA control、SOX9 siRNA, 同时以不做任何转染的细胞作为control组。实时定量聚合酶链式反应(qRT-PCR)和Western blot筛选干扰效果较好的SOX9 siRNA1做后续研究。细胞克隆实验测定细胞克隆形成能力, 免疫荧光检测上皮钙黏附素(E-cadherin)、波形蛋白(Vimentin)表达, Western blot检测E-cadherin、基质金属蛋白酶-2(MMP-2)、Vimentin、基质金属蛋白酶-9(MMP-9)表达, Transwell小室检测细胞侵袭和迁移。结果 SOX9 siRNA组细胞中SOX9 mRNA和蛋白水平均明显低于control组($P<0.05$)。SOX9 siRNA1细胞克隆形成数目、细胞侵袭和迁移数目明显降低, 并且细胞中MMP-2、MMP-9蛋白水平也明显降低, 与control组相比, 差异具有统计学意义($P<0.05$)。SOX9 siRNA1组细胞中Vimentin表达水平降低, 而E-cadherin表达水平升高, 细胞EMT受到抑制, 与control组相比, 差异具有统计学意义($P<0.05$)。结论 下调SOX9可抑制OSCC细胞EMT和克隆形成, 以及细胞侵袭和迁移。

[关键词] 性别决定区Y框蛋白9; 口腔鳞癌; 上皮间质转化; 细胞克隆

[中图分类号] Q 785 **[文献标志码]** A **[doi]** 10.7518/hxkq.2019.01.003

Effect of down-regulation of sex determining region Y-box 9 on epithelial mesenchymal transition and cloning of oral squamous carcinoma cells Yang Wenli, Sun Minglei, Zhang Peng, Yu Weiwei, Zhou Haixia, Sun Qiang. (Dept. of Stomatology, The First Affiliated Hospital of Zhengzhou University, Zhengzhou 450052, China)

Supported by: Henan Education Department Key Scientific and Technological Research Projects (14A320022). Correspondence: Yang Wenli, E-mail: wenbowuw@163.com.

[Abstract] **Objective** To investigate the effect of sex determining region Y-box 9 (SOX9) on epithelial mesenchymal transition (EMT) and cloning of oral squamous cell carcinoma (OSCC). **Methods** siRNA control, SOX9 siRNA were transfected into BcaCD885 cells in OSCC. Simultaneously, cells that did not undergo transfection were used as the control. Quantitative real time polymerase chain reaction (qRT-PCR) and Western blot were used to select SOX9 siRNA1 with enhanced interference effect. A cell cloning assay was used to determine the cell's clone formation ability. E-cadherin and Vimentin expressions were detected by immunofluorescence. The expressions of E-cadherin, matrix metalloprotease 2 (MMP-2), Vimentin and matrix metalloprotease 9 (MMP-9) were detected by Western blot. Cell invasion and migration were detected in the Transwell compartment. **Results** The levels of SOX9 mRNA and protein in SOX9 siRNA cells were significantly lower than those of the control ($P<0.05$). An increase in the number of SOX9 siRNA1 cell clones led to the considerable decrease of the number of cell invasion and migration. In addition, levels of MMP-2 and MMP-9 proteins in cells decreased significantly compared with the control ($P<0.05$). The level of Vimentin expression in SOX9 siRNA1 cells decreased, and expression level of E-cadherin was elevated. Cell EMT was inhibited compared with the control, and the difference was statistically significant ($P<0.05$). **Conclusion** Down-regulation of SOX9 inhibited EMT, clonogenic formation, cell invasion and OSCC migration.

[收稿日期] 2018-02-18; **[修回日期]** 2018-11-03

[基金项目] 河南省教育厅科学技术研究重点项目(14A320022)

[作者简介] 杨文丽, 副主任医师, 硕士, E-mail: wenbowuw@163.com

[通信作者] 杨文丽, 副主任医师, 硕士, E-mail: wenbowuw@163.com

[Key words] sex determining region Y-box 9; oral squa-

mous cell carcinoma; epithelial mesenchymal transition; cell clones

手术治疗、免疫治疗、放疗和化疗等是常见的治疗口腔鳞癌(oral squamous cell carcinoma, OSCC)的方法。随着人们对肿瘤发病机制的不断研究,基因靶向治疗已成为目前治疗肿瘤的新方法^[1]。肿瘤转移是肿瘤致死的重要原因,上皮间质转化(epithelial mesenchymal transition, EMT)是肿瘤转移的基础,也是肿瘤细胞获得转移性的重要原因^[2]。性别决定区Y框蛋白9(sex determining region Y-box 9, SOX9)在肿瘤中的作用受到广泛关注,在各种癌症中发现其呈强阳性,并且表达水平的高低与肿瘤的生长和转移有关^[3-5]。研究^[6]显示,SOX9在口腔癌化过程中表达上升,并且与肿瘤的转移有关。目前,SOX9对OSCC细胞侵袭迁移及EMT的作用尚不明确。本实验以BcaCD885细胞为对象,研究下调SOX9对OSCC细胞侵袭、迁移及EMT的影响,为以后靶向SOX9治疗口腔癌提供参考。

1 材料和方法

1.1 材料

OSCC BcaCD885细胞(ATCC公司,美国);cDNA合成试剂盒、实时定量聚合酶链式反应(quantitative real time polymerase chain reaction, qRT-PCR)试剂盒(大连宝生物工程有限公司);SOX9抗体(Santa Cruz Biootechnology公司,美国);磷酸甘油醛脱氢酶(glyceraldehyde phosphate dehydrogenase, GAPDH)抗体、波形蛋白(Vimentin)抗体、基质金属蛋白酶-2(matrix metalloprotease 2, MMP-2)抗体、上皮钙黏附素(E-cadherin)抗体、基质金属蛋白酶-9(matrix metalloprotease 9, MMP-9)抗体(Bioworld公司,美国);10%山羊血清(武汉博士德生物工程有限公司);siRNA control、SOX9 siRNA1、SOX9 siRNA2(上海吉玛制药技术有限公司)。

1.2 细胞转染

BcaCD885细胞中转染SOX9小干扰RNA,分别为SOX9 siRNA1、SOX9 siRNA2,同时转染siRNA control作为阴性对照,以不做转染的BcaCD885细胞作为control组,转染的具体操作方法参照Lipofectamine 2000脂质体转染试剂。细胞在转染后48 h,用qRT-PCR和Western blot测定SOX9水平。细胞以含有10%胎牛血清的DMEM培养,用0.25%的胰蛋白酶消化。培养参数为37 °C, 5%CO₂培养箱。

1.3 qRT-PCR测定SOX9水平

control、siRNA control、SOX9 siRNA1、SOX9

siRNA2组细胞培养48 h以后,采用TRIZOL试剂提取细胞的总RNA。使用分光光度计测定其OD_{260 nm}/OD_{280 nm}为1.8~2.0。取RNA合成cDNA以后进行qRT-PCR扩增。程序为:95 °C, 3 min; 95 °C, 60 s; 60 °C, 60 s。引物序列如下。SOX9上游引物序列为:5'-AATGGGGGATCCATGAATCTCCTGGAC-3',下游引物序列为:5'-ATTGACCGAATTCGATCAAGGTCGAGTGAGC-3'。GAPDH上游引物序列为:5'-AATGGGCAGCCGTTAGGAAA-3',下游引物序列为:5'-TGAAGGGTCATTGATGGCA-3'。

1.4 Western blot测定SOX9水平

control、siRNA control、SOX9 siRNA1、SOX9 siRNA2组细胞培养48 h以后,提取细胞蛋白,按照BCA蛋白定量试剂盒对各组蛋白样品进行定量检测。蛋白变性:蛋白样品中加入5×上样缓冲液,混合后,在100 °C煮沸5 min。每个上样孔加40 μg蛋白样品,以10%的分离胶、5%的浓缩胶,在90 V恒压条件下电泳。电泳3 h以后,观察染料移动到电泳槽的底部后,停止电泳。转膜:将聚偏氟乙烯(polyvinylidene fluoride, PVDF)膜在转移缓冲液中浸泡,200 mA置于冰浴中转膜2 h。封闭:把膜放在5%牛血清白蛋白中,在37 °C中孵育2 h。抗体孵育:PVDF膜放在一抗(SOX9抗体以1:600稀释)中,置于4 °C过夜,取出PVDF膜,放在1:2 000稀释的IgG二抗中,在室温孵育2 h。电化学发光后,Bio-Rad摄取图像,以Quantity One定量分析。

1.5 克隆实验测定细胞克隆能力

control、siRNA control、SOX9 siRNA1组细胞用培养液悬浮后,调整细胞浓度,接种在10 mL的培养皿中,每个培养皿中添加200个细胞。继续培养14 d,吸除细胞培养液,用4%的多聚甲醛固定各组细胞,吉姆萨染色20 min。在室温中干燥,然后观察细胞克隆形成数目。

1.6 免疫荧光检测E-cadherin、Vimentin表达

control、siRNA control、SOX9 siRNA1组细胞培养48 h后,弃上清溶液。在细胞中添加冰预冷的PBS洗涤2次,加入4%的多聚甲醛固定30 min。吸除固定液,PBS洗涤2次。用0.5%的Triton X-100覆盖玻片,室温孵育10 min,PBS洗涤5次,用10%羊血清封闭1 h,再用1%的血清封闭液洗涤3次。分别滴加E-cadherin、Vimentin抗体稀释液,稀释比为1:50,在湿盒中,4 °C过夜。用1%的血清封闭液洗涤6次,加入含有1:100稀释的FITC荧光标记的二抗,

放在避光的环境中孵育1 h。用PBS洗涤6次。滴加DAPI，在室温避光孵育5 min后，PBS洗涤3次，加入荧光封片剂，荧光显微镜下进行观察。

1.7 Transwell小室测定细胞侵袭和迁移

将基质胶4 °C溶解后，用DMEM稀释，平铺在8 μm聚碳酸酯膜上，37 °C孵育30 min。取control、siRNA control、SOX9 siRNA1组细胞，以不含血清的培养液悬浮细胞，并以密度为每毫升 5×10^5 个细胞接种到Transwell小室的上室中（每孔400 μL），在下室中添加含有血清的培养液。48 h后，用棉签擦掉没有穿过膜的细胞，4%多聚甲醛固定，结晶紫染色，选取5个视野，计算穿过膜的细胞数目即为侵袭细胞数目。迁移细胞数目测定在实验前不用基质胶湿化，其他步骤同侵袭实验。

1.8 Western blot测定细胞中E-cadherin、Vimentin、MMP-2、MMP-9蛋白水平

control、siRNA control、SOX9 siRNA1组细胞培养48 h后，采用Western blot法测定各组细胞中E-cadherin、Vimentin、MMP-2、MMP-9蛋白水平，具体步骤同1.4。

1.9 统计学分析

采用SPSS 21.0统计软件对实验数据进行分析，两组数据用独立样本t检验，以 $P<0.05$ 表示差异有统计学意义。

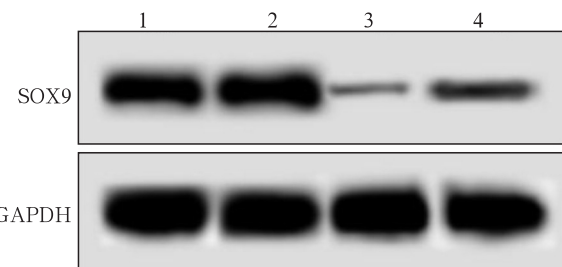
2 结果

2.1 SOX9 siRNA下调OSCC细胞中SOX9的表达

siRNA control组细胞中SOX9 mRNA和蛋白水平没有明显变化，与control组相比，差异无统计学意义。SOX9 siRNA1、SOX9 siRNA2组细胞中SOX9 mRNA和蛋白水平均明显低于control组，差异有统计学意义（ $P<0.05$ ）。SOX9 siRNA2组细胞中SOX9 mRNA和蛋白水平均明显高于SOX9 siRNA1组，差异有统计学意义（ $P<0.05$ ）。SOX9 siRNA1和SOX9 siRNA2成功下调了OSCC细胞中SOX9的转录和表达，并且前者干扰效果优于后者，所以选用SOX9 siRNA1做后续实验（图1和表1）。

2.2 SOX9 siRNA抑制OSCC细胞克隆形成能力

control、siRNA control、SOX9 siRNA1组细胞克隆形成数分别为（95.32±9.63）、（96.94±10.87）、（64.25±7.65）个。siRNA control组细胞克隆形成数与control组相比，差异无统计学意义；SOX9 siRNA1组细胞克隆形成数明显低于control组，差异有统计学意义（ $P<0.05$ ）。结果可见，下调SOX9可以降低OSCC细胞的克隆形成能力（图2）。



1: control组；2: siRNA control组；3: SOX9 siRNA1组；4: SOX9 siRNA2组。

图 1 Western blot测定SOX9 siRNA转染后OSCC细胞中SOX9蛋白的表达

Fig 1 Western blot was used to determine the expression of SOX9 protein in OSCC cells transfected with SOX9 siRNA

表 1 各组OSCC细胞中SOX9的表达

Tab 1 Expression of SOX9 in OSCC cells of each group

组别	SOX9 mRNA	SOX9蛋白 $\bar{x}\pm s$
control	1.00	0.84±0.06
siRNA control	1.02±0.09 [#]	0.86±0.07 [#]
SOX9 siRNA1	0.21±0.05 [*]	0.15±0.02 [*]
SOX9 siRNA2	0.36±0.02 ^{*&}	0.29±0.05 ^{*&}

注：与control组比较，[#] $P>0.05$ ；与control组比较，^{*} $P<0.05$ ；与SOX9 siRNA1组比较，[&] $P<0.05$ 。

2.3 SOX9 siRNA抑制OSCC细胞EMT

Western blot检测结果可见，SOX9 siRNA1组E-cadherin在细胞膜上的表达升高，Vimentin在细胞浆中的表达降低，说明control、siRNA control组有部分细胞已经发生了EMT，其细胞形态从多边形逐渐转化为梭形，而SOX9 siRNA1组细胞形态变化很少，呈现多边形。siRNA control组细胞中E-cadherin、Vimentin蛋白水平与control组相比，差异无统计学意义。SOX9 siRNA1组细胞中E-cadherin蛋白水平明显高于control，Vimentin蛋白水平明显低于control组，差异有统计学意义（ $P<0.05$ ）。结果可见，下调SOX9可抑制OSCC细胞EMT（图3和表2）。

2.4 SOX9 siRNA抑制OSCC细胞迁移

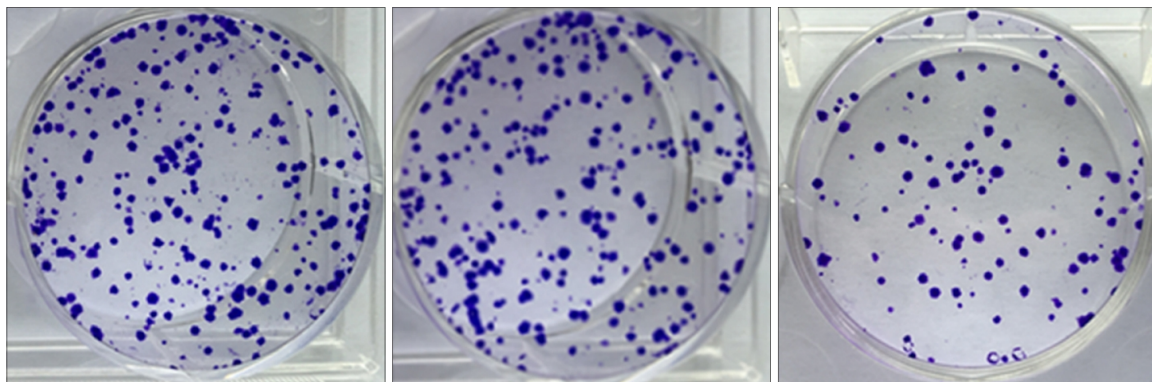
control、siRNA control、SOX9 siRNA1组细胞迁移数目分别为（135.64±13.87）、（136.26±10.92）、（95.27±8.22）个。siRNA control组细胞迁移数目与control组相比，差异无统计学意义。SOX9 siRNA1组细胞迁移数目明显低于control组，差异有统计学意义（ $P<0.05$ ）。结果可见，下调SOX9可抑制OSCC细胞迁移（图4）。

2.5 SOX9 siRNA抑制OSCC细胞侵袭

control、siRNA control、SOX9 siRNA1组细胞侵袭数目分别为（104.21±11.08）、（102.95±13.49）、

(76.91 ± 10.76)个。siRNA control组细胞侵袭数目与control组相比,差异无统计学意义。SOX9 siRNA1组细胞侵袭数目明显低于control组,差异有统计学

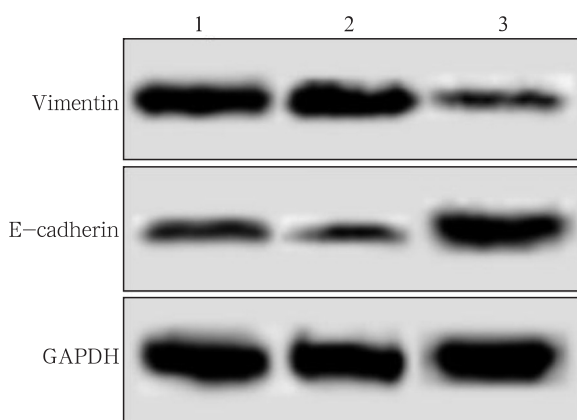
意义($P<0.05$)。结果可见,下调SOX9可抑制OSCC细胞侵袭(图5)。



从左至右依次为control、siRNA control、SOX9 siRNA1组。

图2 克隆形成实验测定下调SOX9后OSCC细胞克隆形成数目

Fig 2 Clonal formation assay was performed to determine the number of OSCC cells clonal formation after down-regulation of SOX9



1: control组; 2: siRNA control组; 3: SOX9 siRNA1组。

图3 Western blot测定下调SOX9后OSCC细胞中E-cadherin、Vimentin蛋白水平

Fig 3 Western blot was used to determine the protein levels of E-cadherin and Vimentin in OSCC cells after SOX9 down-regulation

表2 各组细胞中E-cadherin、Vimentin蛋白表达

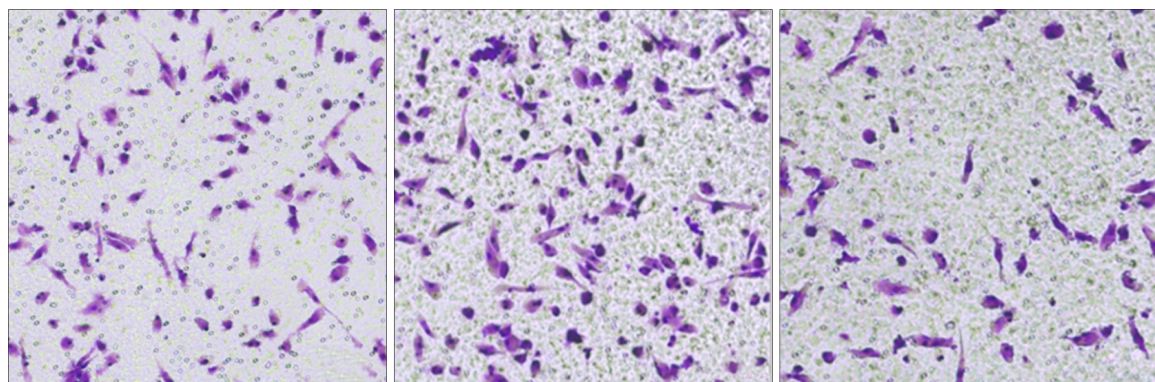
Tab 2 Expression of E-cadherin and Vimentin proteins in cells of each group

组别	E-cadherin	Vimentin
control	0.25 ± 0.06	0.82 ± 0.09
siRNA control	$0.22\pm0.04^{\#}$	$0.84\pm0.10^{\#}$
SOX9 siRNA1	$0.79\pm0.05^*$	$0.28\pm0.06^*$

注:与control组比较, $^{\#}P>0.05$;与control组比较, $*P<0.05$ 。

2.6 SOX9 siRNA抑制OSCC细胞中MMP-2、MMP-9蛋白表达

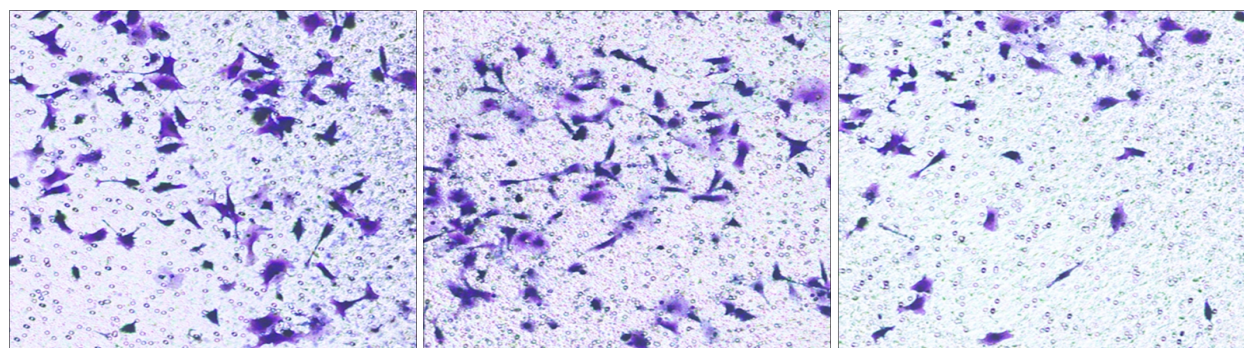
siRNA control组细胞中MMP-2、MMP-9蛋白水平与control组相比,差异无统计学意义。SOX9 siRNA1组细胞中MMP-2、MMP-9蛋白水平明显低于control组,差异有统计学意义($P<0.05$)。结果可见,下调SOX9可抑制OSCC细胞中MMP-2、MMP-9蛋白表达(图6和表3)。



从左至右依次为control、siRNA control、SOX9 siRNA1组。

图4 Transwell小室测定下调SOX9后OSCC细胞迁移能力 结晶紫染色 $\times 200$

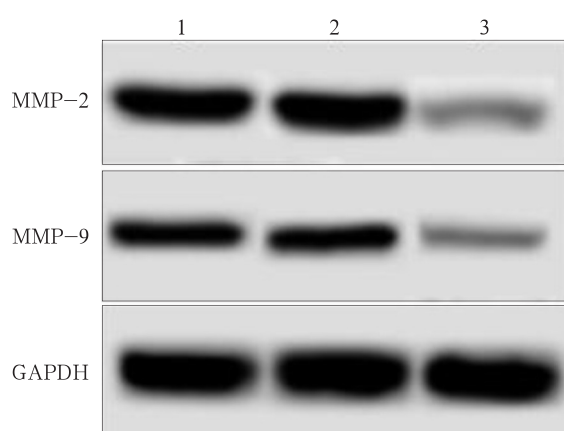
Fig 4 Transwell assay was performed to determine the migration ability of OSCC cells after down-regulation of SOX9 crystal violet dyeing $\times 200$



从左至右依次为control、siRNA control、SOX9 siRNA1组。

图 5 Transwell小室测定下调SOX9后OSCC细胞侵袭能力 结晶紫染色 $\times 200$

Fig 5 Transwell assay was performed to determine the invasion ability of OSCC cells after down-regulation of SOX9 crystal violet dyeing $\times 200$



1: control组；2: siRNA control组；3: SOX9 siRNA1组。

图 6 Western blot测定下调SOX9后OSCC细胞中MMP-2、MMP-9水平

Fig 6 Western blot was used to determine the MMP-2 and MMP-9 levels in OSCC cells after down-regulation of SOX9

表 3 各组细胞中MMP-2、MMP-9蛋白表达

Tab 3 Expression of MMP-2 and MMP-9 proteins in cells of each group $\bar{x}\pm s$

组别	MMP-2	MMP-9
control	0.81 \pm 0.09	0.48 \pm 0.04
siRNA control	0.80 \pm 0.11 [#]	0.49 \pm 0.06 [#]
SOX9 siRNA1	0.35 \pm 0.04*	0.30 \pm 0.05*

注：与control组比较，[#]P>0.05；与control组比较，*P<0.05。

3 讨论

SOX9基因有3个保守的转录因子区域，定位在染色体17q24，其可以弯曲并结合DNA高迁移率区域，是SOX转录因子家族中的一员，在生命机体的发育中具有调控作用^[7]。SOX9发现于性别反转的疾病中，与性腺的发育有关，在早期的胚胎发育、细

胞的分化中有重要作用，在软骨的形成、神经系统发育、性别分化、心脏发育等中具有不可或缺的生理功能^[8-10]。SOX9异常表达与人类的多种疾病发生有关，在诸多肿瘤如肺癌、黑色素瘤等中表达，并且与肿瘤的病理变化有关^[11]。多个研究^[12-14]报道显示，SOX9的表达与肿瘤细胞的生长有关，是一个重要的肿瘤生长调控因子，其表达水平降低后，可以抑制肿瘤细胞皮下移植瘤的生长，并且可以在体外降低直肠癌、宫颈癌等癌细胞的增殖能力。本实验结果显示，SOX9表达下调后OSCC细胞的克隆形成能力降低，说明SOX9下调可以抑制OSCC细胞的生长。

肿瘤的转移是肿瘤引起死亡的重要原因，其浸润和转移程度往往与预后有关，是一个极为复杂的过程。肿瘤的转移与肿瘤细胞的EMT有关，EMT过程与上皮标志物E-cadherin表达下调和间质标志物Vimentin表达上调有关^[15-16]。研究^[17-18]显示，E-cadherin在肿瘤组织中表达下调，而Vimentin在肿瘤组织中过度表达，二者表达水平的高低可间接反应肿瘤细胞EMT水平。在胶质瘤细胞中过表达SOX9后，细胞中E-cadherin表达水平下降，Vimentin表达水平升高，细胞的迁移能力升高^[19]。本实验显示，下调SOX9后OSCC细胞呈现多边形，并且细胞中E-cadherin表达增多，Vimentin表达降低，表明下调SOX9可以抑制OSCC细胞EMT，SOX9可能参与肿瘤侵袭过程。

肿瘤细胞的迁移和侵袭是一个多步骤、多因素共同参与的复杂过程，肿瘤细胞可通过产生蛋白酶分解细胞外基质，使肿瘤细胞突破组织屏障，进入到淋巴管和微血管中，转移至邻近组织和器官^[20]。MMPs可以降解细胞外基质的几乎所有成分，是一种重要的肿瘤转移相关蛋白酶家族，其含有多个蛋白成员，其中MMP-2和MMP-9是研究较为深入的与肿瘤转移有关的蛋白酶，在肿瘤组织中高表达，表

达水平升高可以促进肿瘤细胞的侵袭和迁移^[21]。本实验结果显示，下调SOX9后OSCC细胞的侵袭和迁移能力均降低，并且细胞中MMP-2、MMP-9蛋白水平降低，表明下调SOX9后可以通过降低MMP-2和MMP-9的表达抑制OSCC细胞的迁移和侵袭。

综上所述，本实验结果表明SOX9下调可以减弱OSCC细胞侵袭、迁移和克隆形成能力，抑制细胞EMT，SOX9是一种癌基因，参与肿瘤的转移，对于其在信号通路转导中的作用还需要进一步探讨。本实验为靶向基因治疗OSCC提供了思路，对于研究SOX9在肿瘤中的作用具有重要意义。

[参考文献]

- [1] Sahu A, Nandakumar N, Sawant S, et al. Recurrence prediction in oral cancers: a serum Raman spectroscopy study [J]. Analyst, 2015, 140(7): 2294-2301.
- [2] Zhang H, Cai K, Wang J, et al. MiR-7, inhibited indirectly by lincRNA HOTAIR, directly inhibits SETDB1 and reverses the EMT of breast cancer stem cells by downregulating the STAT3 pathway[J]. Stem Cells, 2015, 32(11): 2858-2868.
- [3] Sun L, Mathews LA, Cabarcas SM, et al. Epigenetic regulation of SOX9 by the NF-κB signaling pathway in pancreatic cancer stem cells[J]. Stem Cells, 2013, 31(8): 1454-1466.
- [4] Chen W, Zhao W, Zhang L, et al. MALAT1-miR-101-SOX9 feedback loop modulates the chemo-resistance of lung cancer cell to DDP via Wnt signaling pathway[J]. Oncotarget, 2017, 8(55): 94317-94329.
- [5] Wang H, Leav I, Ibaragi S, et al. SOX9 is expressed in human fetal prostate epithelium and enhances prostate cancer invasion[J]. Cancer Res, 2008, 68(6):1625-1630.
- [6] Nantajit D, Lin D, Li JJ. The network of epithelial-mesenchymal transition: potential new targets for tumor resistance [J]. J Cancer Res Clin Oncol, 2015, 141(10): 1697-1713.
- [7] Kim GJ, Sock E, Buchberger A, et al. Copy number variation of two separate regulatory regions upstream of SOX9 causes isolated 46,XY or 46,XX disorder of sex development [J]. J Med Genet, 2015, 52(4): 240-247.
- [8] Xia S, Feng Z, Qi X, et al. Clinical implication of Sox9 and activated Akt expression in pancreatic ductal adenocarcinoma[J]. Med Oncol, 2015, 32(1): 358.
- [9] Liu N, Zhang L, Wang Z, et al. MicroRNA-101 inhibits proliferation, migration and invasion of human glioblastoma by targeting SOX9[J]. Oncotarget, 2017, 8(12): 19244-19254.
- [10] Vetro A, Dehghani MR, Kraoua L, et al. Testis development in the absence of SRY: chromosomal rearrangements at SOX9 and SOX3[J]. Eur J Hum Genet, 2015, 23(8): 1025-1032.
- [11] Li Z, Li B, Niu L, et al. miR-592 functions as a tumor suppressor in human non-small cell lung cancer by targeting SOX9[J]. Oncol Rep, 2017, 37(1): 297-304.
- [12] Wu JH, Liang XA, Wu YM, et al. Identification of DNA methylation of SOX9 in cervical cancer using methylated-CpG island recovery array[J]. Oncol Rep, 2013, 19(1): 125-132.
- [13] 吴姗. SOX9基因沉默对大肠癌细胞系生物学行为的影响[D]. 杭州: 浙江大学, 2011.
- Wu S. Effects of SOX9 gene silencing on biological behavior of colorectal cancer cell lines[D]. Hangzhou: Zhejiang University, 2011.
- [14] Res C. Correction: miR145 targets the SOX9/ADAM17 axis to inhibit tumor-initiating cells and IL6-mediated paracrine effects in head and neck cancer[J]. Cancer Res, 2015, 75(13): 2761.
- [15] Attramadal CG, Kumar S, Boysen ME, et al. Tumor budding, EMT and cancer stem cells in T1-2/N0 oral squamous cell carcinomas[J]. Anticancer Res, 2015, 35(11): 6111-6120.
- [16] Natsuzaka M, Whelan KA, Kagawa S, et al. Interplay between Notch1 and Notch3 promotes EMT and tumor initiation in squamous cell carcinoma[J]. Nat Commun, 2017, 8(1): 1758.
- [17] Lu MH, Huang CC, Pan MR, et al. Prospero homeobox 1 promotes epithelial-mesenchymal transition in colon cancer cells by inhibiting E-cadherin via miR-9[J]. Clin Cancer Res, 2012, 18(23): 6416-6425.
- [18] Palen K, Weber J, Dwinell MB, et al. E-cadherin re-expression shows *in vivo* evidence for mesenchymal to epithelial transition in clonal metastatic breast tumor cells[J]. Oncotarget, 2016, 7(28): 43363-43375.
- [19] Liu H, Liu Z, Jiang B, et al. SOX9 overexpression promotes glioma metastasis via Wnt/β-Catenin signaling[J]. Cell Biochem Biophys, 2015, 73(1): 205-212.
- [20] Wu SH, Hsiao YT, Kuo CL, et al. Bufalin inhibits NCI-H460 human lung cancer cell metastasis *in vitro* by inhibiting MAPKs, MMPs, and NF-κB pathways[J]. Am J Chin Med, 2015, 43(6): 1247-1264.
- [21] Li W, Li S, Deng L, et al. Decreased MT1-MMP in gastric cancer suppressed cell migration and invasion via regulating MMPs and EMT[J]. Tumor Biol, 2015, 36(9): 6883-6889.

(本文采编 王晴)